

01;03

Нелинейные периодические волны на заряженной поверхности вязкой жидкости конечной проводимости

© Д.Ф. Белоножко, С.О. Ширяева, А.И. Григорьев

Ярославский государственный университет им. П.Г. Демидова,
150000 Ярославль, Россия
e-mail: grig@uniyar.ac.ru

(Поступило в Редакцию 30 июня 2004 г.)

Во втором приближении по амплитуде начальной деформации найден профиль периодической капиллярно-гравитационной волны, распространяющейся по поверхности вязкой жидкости конечной проводимости. Показано, что учет конечности скорости выравнивания потенциала жидкости при распространении по ее свободной поверхности капиллярно-гравитационной волны приводит к изменению интенсивности нелинейного взаимодействия волн, зависящей от величины равновесной поверхностной плотности электрического заряда, электропроводности жидкости и волновых чисел. Сам характер влияния конечности скорости выравнивания потенциала жидкости на нелинейное взаимодействие волн немонотонен.

В последние годы в серии работ, посвященных асимптотическому нелинейному анализу периодических капиллярно-гравитационных волн на плоской поверхности глубокой жидкости [1–4], успешно развивался математический аппарат корректного учета конечной вязкости жидкости. В работах [1–4] подробно исследовались профиль нелинейной периодической бегущей капиллярно-гравитационной волны на свободной поверхности вязкой идеально проводящей жидкости и влияние на него однородно распределенного поверхностного заряда. Было показано, что зависимость безразмерного амплитудного множителя поправки второго порядка малости по амплитуде начальной виртуальной деформации к профилю волны от безразмерного волнового числа $A = A(k)$ имеет резонансоподобный вид с пиком вблизи значения безразмерного волнового числа $k_* = 1/\sqrt{2} \approx 0.707$. Именно в окрестности этого значения k наиболее отчетливо проявляется нелинейный характер волнового движения. Высота пика амплитуды A , характеризующей степень интенсивности внутреннего нелинейного резонансного взаимодействия волн, зависит от вязкости жидкости [1]: с уменьшением вязкости высота пика монотонно растет и в пределе идеальной жидкости обращается в бесконечность. В [2–4] показано, что степень интенсивности нелинейного резонансного взаимодействия волн сложным образом зависит от величины поверхностной плотности заряда, квадрат которой пропорционален параметру Тонкса–Френкеля W (характеризующего устойчивость свободной поверхности жидкости по отношению к однородно распределенному по ней электрическому заряду): на плоскости параметров (k, W) , на линии $W = (k + k^{-1})/2$, амплитуда A имеет минимум, стремящийся к нулю при уменьшении до нуля вязкости.

Корректный учет вязкости жидкости позволяет исследовать влияние релаксационных явлений, сопровождающихся появлением касательных к свободной поверхности жидкости напряжений, на закономерности нелиней-

ного взаимодействия капиллярно-гравитационных волн и на нелинейные поправки к профилям волн. Настоящая работа посвящена исследованию влияния конечности скорости выравнивания вдоль свободной поверхности жидкости электростатического потенциала на закономерности реализации нелинейного капиллярно-гравитационного волнового движения.

1. Формулировка задачи

Пусть вязкая несжимаемая жидкость в поле сил тяжести заполняет полубесконечное пространство $z \leq 0$, а плоскость Oxy декартовой системы координат, ось Oz которой направлена против направления действия силы тяжести, совпадает с равновесной плоской свободной поверхностью жидкости. Обозначим массовую плотность жидкости ρ , кинематическую вязкость ν , коэффициент поверхностного натяжения γ , удельную проводимость σ . Примем, что на свободной поверхности равномерно распределен электрический заряд с равновесной поверхностной плотностью χ_0 . Обозначим коэффициент поверхностной диффузии заряда D , поверхностную подвижность зарядов μ , а диэлектрическую проницаемость жидкости ε_d . Зададимся целью определить в произвольный момент времени $t > 0$ профиль бегущей плоской периодической капиллярно-гравитационной волны с волновым числом $k = 2\pi/\lambda$ (λ — длина волны), которая в начальный момент времени ($t = 0$) начинает распространяться по свободной поверхности жидкости в положительном направлении оси Ox . Будем полагать движение жидкости не зависящим от координаты y , а амплитуду главной гармоники в разложении периодического профиля волны в ряд Фурье на пространственном периоде λ известной и равной η . Будем учитывать, что в процессе распространения волны электрический заряд перераспределяется по деформирующейся свободной поверхности жидкости с характерным временем, сравнимым с периодом колебаний рассматриваемой волны, так что

поверхностная плотность заряда χ оказывается функцией времени и горизонтальной координаты $\chi = \chi(t, x)$.

Математическая формулировка задачи расчета поля скоростей течения жидкости, электростатического потенциала и определения профиля нелинейной капиллярно-гравитационной волны на заряженной свободной поверхности жидкости имеет вид

$$\partial_t \mathbf{U} + (\mathbf{U} \cdot \nabla) \mathbf{U} = -\frac{1}{\rho} \nabla p + \nu \Delta \mathbf{U} + \mathbf{g}; \quad \mathbf{U} = u \mathbf{e}_x + v \mathbf{e}_z;$$

$$\operatorname{div} \mathbf{U} = 0; \quad \Delta \Phi_{\text{ex}} = 0; \quad \Delta \Phi_{\text{in}} = 0;$$

$$z = \xi: \quad \partial_t \xi + u \partial_x \xi = v;$$

$$p - 2\rho\nu(\mathbf{n} \cdot \nabla) \mathbf{U} + \frac{1}{8\pi} \left((\nabla \Phi_{\text{ex}})^2 - \varepsilon_d ((\mathbf{n} \cdot \nabla) \Phi_{\text{in}})^2 + (\varepsilon_d - 2) ((\boldsymbol{\tau} \cdot \nabla) \Phi_{\text{in}})^2 \right) = -\frac{\gamma \partial_{xx} \xi}{(1 + (\partial_x \xi)^2)^{3/2}};$$

$$-\rho\nu [(\boldsymbol{\tau} \cdot \nabla) \mathbf{U}] + (\mathbf{n}(\boldsymbol{\tau} \cdot \nabla) \mathbf{U}) - \chi(\boldsymbol{\tau} \cdot \nabla) \Phi_{\text{in}} = 0;$$

$$\Phi_{\text{ex}} = \Phi_{\text{in}};$$

$$\partial_t \chi + \sigma(\mathbf{n} \cdot \nabla) \Phi_{\text{in}} + \chi U_n \operatorname{div}_S(\mathbf{n}) + \operatorname{div}_S(\chi U_\tau \boldsymbol{\tau})$$

$$+ \mu \operatorname{div}_S(\chi E_{\text{in}\tau} \boldsymbol{\tau}) + D \operatorname{div}_S(\operatorname{grad}_S(\chi)) = 0;$$

$$\chi = -\frac{1}{4\pi} ((\mathbf{n} \cdot \nabla) \Phi_{\text{ex}} - \varepsilon_d (\mathbf{n} \cdot \nabla) \Phi_{\text{in}});$$

$$z \rightarrow -\infty: \quad u \rightarrow 0; \quad v \rightarrow 0; \quad \nabla \Phi_{\text{in}} \rightarrow 0;$$

$$z \rightarrow \infty: \quad \nabla \Phi_{\text{ex}} \rightarrow -E_0 \mathbf{e}_z; \quad E_0 = 4\pi \chi_0.$$

Здесь \mathbf{e}_x и \mathbf{e}_z — орты осей; \mathbf{n} и $\boldsymbol{\tau}$ — орты внешней нормали и касательной к возмущенной волновым движением свободной поверхности жидкости, уравнение которой записывается в виде $z = \xi \equiv \xi(t, x)$ (аналитические выражения для \mathbf{n} и $\boldsymbol{\tau}$ приведены в Приложении). В нижеследующем воспользуемся обычным для задач о нелинейных периодических волнах [1–6] приемом, когда начальные условия задачи определяются в процессе решения таким образом, чтобы получить в результате наименее громоздкое и наиболее удобное для качественного анализа профиля волны выражение.

В приведенной выше постановке определению подлежат функции: $\xi = \xi(t, x)$ — профиль свободной поверхности; $u = u(t, x, z)$ — горизонтальная и $v = v(t, x, z)$ — вертикальная компоненты поля скоростей течения жидкости $\mathbf{U}(t, x, z)$; $p = p(t, x, z)$ — распределение давления в ней; $\Phi_{\text{in}} = \Phi_{\text{in}}(t, x, z)$ и $\Phi_{\text{ex}} = \Phi_{\text{ex}}(t, x, z)$ — потенциалы электрического поля внутри и вне жидкости соответственно; $\chi = \chi(t, x)$ — поверхностная плотность электрического заряда, а величины η , k , ρ , g , ν , γ , χ_0 , σ , D , μ и ε_d выступают в качестве исходных данных.

2. Построение асимптотического решения

Воспользуемся описанной ранее [3,4] методикой отыскания решения сформулированной задачи о расчете нелинейных волн в вязкой несжимаемой жидкости и будем искать его в виде

$$\begin{pmatrix} \xi \\ u \\ v \\ p \\ \Phi_{\text{ex}} \\ \Phi_{\text{in}} \\ \chi \end{pmatrix} = \begin{pmatrix} 0 \\ 0 \\ 0 \\ -\rho g z - \frac{E_0^2}{8\pi} \\ -E_0 z \\ 0 \\ \frac{E_0}{4\pi} \end{pmatrix} + \begin{pmatrix} \xi_1 \\ u_1 \\ v_1 \\ p_1 \\ \Phi_{\text{ex}}^{(1)} \\ \Phi_{\text{in}}^{(1)} \\ \chi_1 \end{pmatrix} + \begin{pmatrix} \xi_2 \\ u_2 \\ v_2 \\ p_2 \\ \Phi_{\text{ex}}^{(2)} \\ \Phi_{\text{in}}^{(2)} \\ \chi_2 \end{pmatrix} + \begin{pmatrix} O(\xi_1^3) \\ O(u_1^3) \\ O(v_1^3) \\ O(p_1^3) \\ O((\Phi_{\text{ex}}^{(1)})^3) \\ O((\Phi_{\text{in}}^{(1)})^3) \\ O(\chi_1^3) \end{pmatrix};$$

$$\begin{pmatrix} \xi_2 \\ u_2 \\ v_2 \\ p_2 \\ \Phi_{\text{ex}}^{(2)} \\ \Phi_{\text{in}}^{(2)} \\ \chi_2 \end{pmatrix} = \begin{pmatrix} O(\xi_1^2) \\ O(u_1^2) \\ O(v_1^2) \\ O(p_1^2) \\ O((\Phi_{\text{ex}}^{(1)})^2) \\ O((\Phi_{\text{in}}^{(1)})^2) \\ O(\chi_1^2) \end{pmatrix};$$

$$\xi_1 = \eta \cdot f(t) \cos(kx - \omega t); \quad f(0) = 1,$$

где величины с индексом 1 определяют линейное по амплитуде приближение, а величины с индексом 2 дают поправки второго порядка малости.

Используя приведенные разложения для ξ , u , v , p , Φ_{ex} , Φ_{in} , χ , несложно построить задачи первого и второго порядков малости (см. аналогичные построения в [3,4])

$$\partial_t \mathbf{U}_m + \frac{1}{\rho} \nabla p_m - \nu \Delta \mathbf{U}_m = \mathbf{V}_m;$$

$$\operatorname{div} \mathbf{U}_m = 0; \quad \Delta \Phi_{\text{ex}}^{(m)} = 0; \quad \Delta \Phi_{\text{in}}^{(m)} = 0;$$

$$z = \xi: \quad \partial_t \xi_m - v_m = f_{1m};$$

$$p_m - \rho g \xi_m - 2\rho\nu \partial_z v_m - \frac{E_0}{4\pi} \partial_z \Phi_{\text{ex}}^{(m)} + \gamma_0 \partial_{xx} \xi_m = f_{2m};$$

$$\begin{aligned} \rho v(\partial_z u_m + \partial_x v_m) + \frac{E_0}{4\pi} \partial_x \Phi_{in}^{(m)} &= f_{3m}; \\ \Phi_{ex}^{(m)} - E_0 \xi_m - \Phi_{in}^{(m)} &= f_{4m}; \\ \partial_t \chi_m + \frac{E_0}{4\pi} \partial_x u_m + \sigma \partial_z \Phi_{in}^{(1)} - D \partial_{xx} \chi_m - \mu \frac{E_0}{4\pi} \partial_{xx} \Phi_{in}^{(1)} &= f_{5m}; \\ \chi_m + \frac{1}{4\pi} (\partial_z \Phi_{ex}^{(m)} - \epsilon_d \partial_z \Phi_{in}^{(m)}) &= f_{6m}; \\ z \rightarrow -\infty : u_m \rightarrow 0; \quad v_m \rightarrow 0; \quad |\nabla \Phi_{in}^{(m)}| &\rightarrow 0; \\ z \rightarrow \infty : |\nabla \Phi_{ex}^{(m)}| &\rightarrow 0. \end{aligned}$$

Выписанные соотношения при $m = 1$ представляют собой формулировку задачи первого порядка малости, для которой $\mathbf{V}_1 = \mathbf{0}$; $f_{n1} = 0$ ($n = 1, 2, 3, 4, 5, 6$). Задача второго порядка малости получается при $m = 2$. Величины \mathbf{V}_2 и f_{n2} ($n = 1, 2, 3, 4, 5, 6$), выраженные через решение задачи первого порядка, приведены в Приложении.

3. Решение задачи в квадратичном приближении по амплитуде периодической бегущей волны

В соответствии со сложившимся уже стандартным подходом к задачам данного класса (см., например, [3,4]) следующий этап заключается в последовательном решении задач первого и второго порядков малости. Это позволяет получить выражение для формы профиля периодической бегущей капиллярно-гравитационной волны во втором приближении по амплитуде η

$$\begin{aligned} \xi &= \eta \cos \theta \exp(\delta t) + 2\eta^2 [\operatorname{Re}(\xi) \cos(2\theta) \\ &\quad - \operatorname{Im}(\xi) \sin(2\theta)] \exp(2\delta t); \end{aligned}$$

$$\theta = \omega t - kx; \quad \omega = \operatorname{Im}(S); \quad \delta = \operatorname{Re}(S); \quad \xi = \frac{M_1}{M_0}. \quad (1)$$

Здесь S — комплексная частота, получаемая из дисперсионного соотношения на этапе решения задачи первого порядка малости; M_0 и M_1 вычисляются в процессе решения задачи второго порядка малости (см. Приложение).

Выражение (1) можно переписать в альтернативной форме

$$\begin{aligned} \xi &= \eta \cos \theta \exp(\delta t) + \eta^2 A \cos(2\theta + \phi) \exp(2\delta t); \\ A &= 2\sqrt{\operatorname{Re}(\xi)^2 + \operatorname{Im}(\xi)^2}; \\ \phi &= \begin{cases} \arctg\left(\frac{\operatorname{Im}(\xi)}{\operatorname{Re}(\xi)}\right); & \text{если } \operatorname{Re}(\xi) > 0; \\ \frac{\pi}{2}; & \text{если } \operatorname{Re}(\xi) = 0; \\ \arctg\left(\frac{\operatorname{Im}(\xi)}{\operatorname{Re}(\xi)}\right) + \pi; & \text{если } \operatorname{Re}(\xi) < 0. \end{cases} \quad (2) \end{aligned}$$

Заметим, что в приведенных в Приложении выражениях для M_0 и M_1 вместо проводимости жидкости σ используется обратная ей величина $r = 1/\sigma$ — удельное сопротивление. Это облегчает процедуру асимптотического предельного перехода к случаю идеально проводящей жидкости ($\sigma \rightarrow \infty \Rightarrow r \rightarrow 0$), для которой отсутствует явление релаксации заряда. Кроме того, при расчетах в качестве численного параметра, характеризующего плотность поверхностного заряда на плоской свободной равновесной поверхности жидкости, используется безразмерный параметр Тонкса–Френкеля [7,8]

$$W = 4\pi\chi_0^2/\sqrt{\rho g \gamma} = E_0^2/(4\pi\sqrt{\rho g \gamma}). \quad (3)$$

Таким образом, величины S , M_0 и M_1 являются функциями исходных параметров $\rho, g, \gamma, v, k, W, r, D, \mu, \epsilon_d$.

Комплексная частота вычисляется по формуле

$$S = \omega_0 \alpha(\rho, g, \gamma, v, k, W, r, D, \mu, \epsilon_d);$$

$$\omega_0^2 = kg(1 + (ak)^2 - akW); \quad a = \sqrt{\gamma/\rho g}, \quad (4)$$

a — капиллярная постоянная; безразмерный параметр α — корень обезразмеренного дисперсионного уравнения, соответствующий капиллярно-гравитационной волне (полное дисперсионное уравнение и способ выбора нужного корня приведены в Приложении); ω_0 — частота капиллярно-гравитационных волн бесконечно малой амплитуды с волновым числом k на свободной поверхности идеально проводящей жидкости.

Как известно, параметр W характеризует устойчивость однородно заряженной плоской поверхности жидкости по отношению к собственному заряду [8]. При переходе к идеально проводящей жидкости ($v, r \rightarrow 0$) соотношение для комплексной частоты S из (4) превращается в $S = \pm i\omega_0$ (так как $\alpha = \pm i$). Поэтому, когда

$$W > \frac{1}{ak} + ak \Rightarrow \omega_0^2 < 0 \Rightarrow S = \pm|\omega_0|,$$

$$\text{т.е. } \operatorname{Im}(S) \equiv \omega = 0, \quad \text{а } \operatorname{Re}(S) \equiv \delta > 0, \quad (5)$$

электрические силы на гребнях волн с волновым числом $k = (1/a)$ преобладают над силами поверхностного натяжения (уже в первом порядке малости) и реализуется неустойчивость заряженной поверхности жидкости по отношению к собственному электрическому заряду [7–9]. Режим движения свободной поверхности перестает быть волновым, поскольку $\omega = 0$. Из (5) несложно заметить, что если $0 \leq W < 2$, то все волновые числа $k > 0$ устойчивы.

В связи со сказанным будем исследовать профиль волны (1) в предположении, что выполняется условие

$$W < \frac{1}{ak} + ak \Rightarrow \operatorname{Im}(S) = \omega \neq 0, \quad \delta = \operatorname{Re}(S) < 0. \quad (6)$$

В этом случае параметр δ имеет смысл декремента затухания волны в первом порядке малости, а асимпто-

тические приближения (1) и (2) для профиля волны не теряют своей равномерности в пределе $\eta \rightarrow 0$ при всех значениях времени $t > 0$.

Согласно выражению (2), профиль нелинейной периодической бегущей капиллярно-гравитационной волны на свободной поверхности жидкости в квадратичном по амплитуде волны приближении складывается из главного (пропорционального η) волнового слагаемого — k -волны и вызванного нелинейным взаимодействием волн поправочного слагаемого, пропорционального η^2 — $2k$ -волны. Мерой интенсивности взаимодействия этих волн является величина амплитудного множителя A в формуле (2).

В численных расчетах использовались безразмерные переменные, в которых $\rho = g = \gamma = 1$, а остальные величины измерялись в единицах своих характерных масштабов

$$k^* = \frac{1}{a}; \quad \eta^* = a; \quad \xi_* = \frac{1}{a}; \quad r^* = \sqrt{\frac{a}{g}};$$

$$v^* = \sqrt{ga^3}; \quad D^* = \sqrt{ga^3}; \quad \mu^* = \frac{1}{\sqrt{\rho}}.$$

4. Влияние эффекта релаксации заряда на интенсивность нелинейного взаимодействия волн

Чтобы исследовать влияние конечной проводимости жидкости на интенсивность нелинейного взаимодействия волн, примем для простоты, что значения коэффициента диффузии D и подвижности носителей заряда μ равны нулю (пропорциональные им слагаемые играют заметную роль только для плохо проводящих жидкостей типа жидкого водорода или жидкого гелия [10–12]). Принятое допущение означает, что явление релаксации электрического заряда в жидкости полностью обусловлено ее электропроводностью. Значение безразмерной вязкости ν положим равным 0.1, а диэлектрической проницаемости $\varepsilon_d = 50$.

Семейство кривых $A = A(k)$, приведенное на рис. 1, построено в области значений волновых чисел, где влияние эффекта релаксации заряда наиболее заметно, при различных значениях удельного сопротивления жидкости r (напомним, что $A(k)$ — амплитудный множитель перед поправкой второго порядка малости к профилю нелинейной капиллярно-гравитационной волны). При выбранной величине параметра Тонкса–Френкеля $W = 1$ рост удельного сопротивления r от 0 до 1 не изменяет резонансноподобного характера зависимости $A = A(k)$, незначительно снижая, однако, абсолютную величину пика (всего на 6%) и слабо смещая его положение в область меньших значений волновых чисел k . Несложно заметить, что релаксация заряда более существенно сказывается на интенсивности нелинейного взаимодействия коротких волн. Отметим также, что

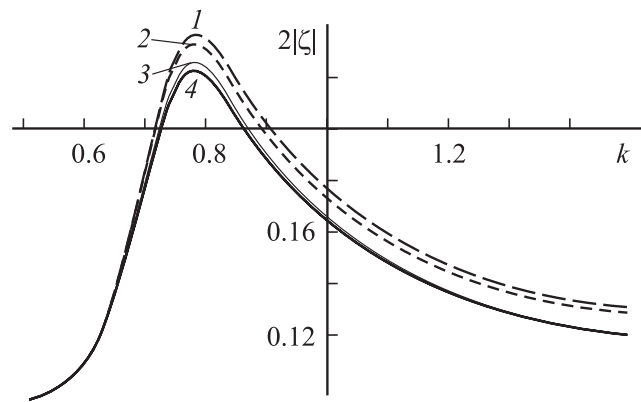


Рис. 1. Зависимости безразмерного амплитудного множителя поправки второго порядка малости к профилю волны $A = A(k) \equiv 2|\xi(k)|$ от безразмерного волнового числа, рассчитанные при $W = 1$, построенные для различных значений безразмерного удельного сопротивления жидкости r : 1 — 0, 2 — 0.1, 3 — 0.5, 4 — 1.0.

значение $r = 1$ относится к слабо проводящим жидкостям (для которых использованное в расчетах приближение $D = \mu = 0$ применимо лишь с оговорками). Для примера, удельное сопротивление этилового спирта в выбранных безразмерных переменных соответствует $r = 1.3 \cdot 10^{-3}$.

Тем не менее для слабо проводящих жидкостей ($r = 1$) влияние поверхностной плотности заряда (параметра W) на зависимость $A = A(k)$, так же как и для идеально проводящей жидкости, имеет немонотонный характер (рис. 2). Рост величины W от значений, близких к нулю, до $W = 1$ сначала снижает интенсивность нелинейного взаимодействия волн (рис. 2, а), что выражается в уменьшении амплитуды поправки второго порядка малости $A(k)$ на интервале $0 \leq W \leq 1$, а затем на интервале $1 \leq W \leq 2$ существенно его увеличивает (рис. 2, б). Интенсивность взаимодействия минимальна при $W \approx 1$ (рис. 2, с). Из рис. 3, на котором приведена зависимость $A(W)$, рассчитанная для различных значений удельного сопротивления при величине волнового числа $k = 0.73$, соответствующего положению максимума кривой $A(k)$ в области наиболее интенсивного нелинейного взаимодействия волн, следует, что для слабо проводящих жидкостей этот минимум несколько глубже.

На рис. 4 приведены зависимости амплитуды A от удельного сопротивления r , рассчитанные при $k = 0.73$ для разных значений параметра Тонкса–Френкеля W . Несложно видеть, что и качественный характер зависимости и ее количественная характеристика существенно зависят от величины поверхностного заряда (от величины параметра Тонкса–Френкеля). Из рис. 4 видно, что зависимость $A = A(r)$ имеет наиболее монотонный вид при $W \approx 1$. Именно этим объясняется плавное уменьшение пикового значения амплитуды зависимости $A(k)$

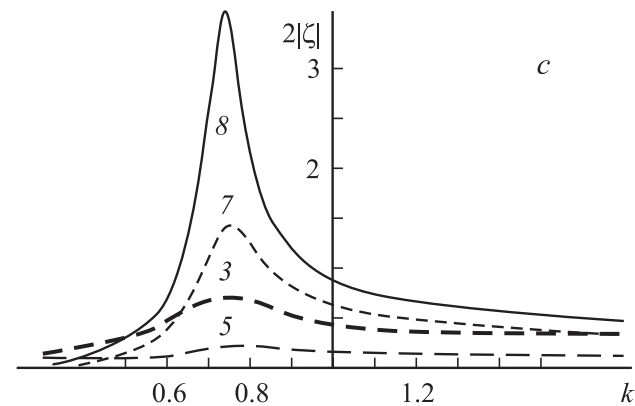
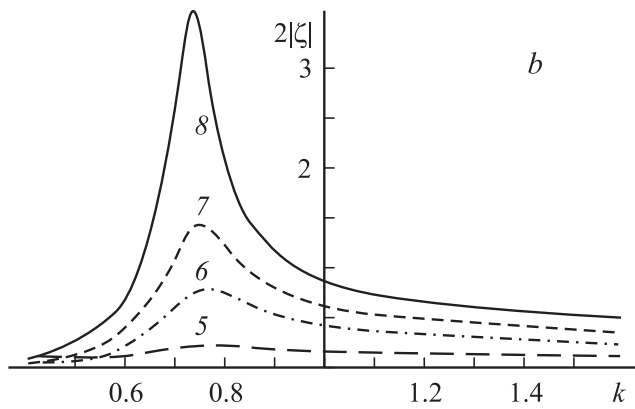
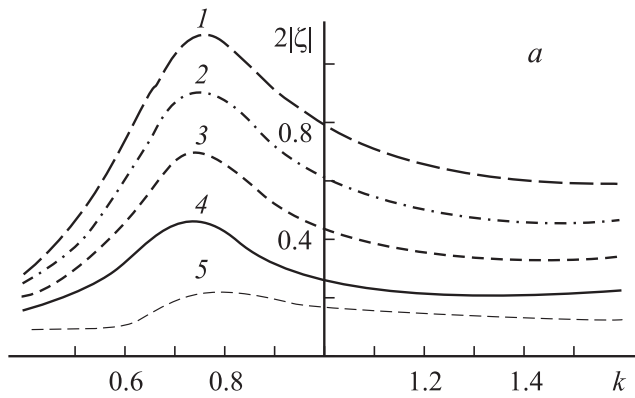


Рис. 2. Зависимости безразмерного амплитудного множителя поправки второго порядка малости к профилю волны $A = A(k) \equiv 2|\xi(k)|$ от безразмерного волнового числа, рассчитанные при $r = 1$, построенные для различных значений параметра W , характеризующего поверхностную плотность электрического заряда: 1 — 0.1, 2 — 0.3, 3 — 0.5, 4 — 0.7, 5 — 1.0, 6 — 1.3, 7 — 1.5, 8 — 1.8. *a* — зависимости $A = A(k) \equiv |\xi(k)|$, рассчитанные при $W \leq 1$; *b* — зависимости $A = A(k) \equiv 2|\xi(k)|$, рассчитанные при $W \geq 1$; *c* — зависимости $A = A(k) \equiv 2|\xi(k)|$, рассчитанные при изменении параметра W в диапазоне: $0.5 \leq W \leq 1.8$.

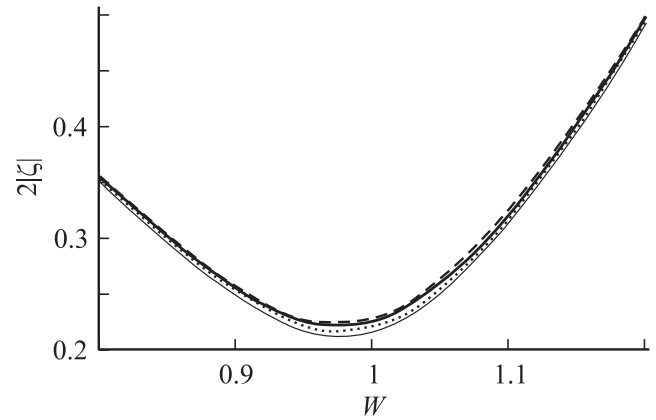


Рис. 3. Зависимости безразмерного амплитудного множителя поправки второго порядка малости к профилю волны $A = A(W) \equiv 2|\xi(W)|$ от безразмерного параметра W , характеризующего устойчивость свободной поверхности жидкости по отношению к однородно распределенному по ней заряду, рассчитанные при значении безразмерного волнового числа $k = 0.73$, построенные для различных значений безразмерного удельного сопротивления жидкости r : штриховая кривая — 0, жирная кривая — 0.1, пунктир — 0.5, тонкая кривая — 1.0.

с ростом параметра r на рис. 1. Аналогичное рис. 1 семейство кривых $A = A(k)$, рассчитанное при $W = 1.8$, приведено на рис. 5. Рис. 5, в частности, иллюстрирует то обстоятельство, что монотонное уменьшение амплитуды нелинейной поправки A при увеличении r сохраняется только для значений $k > 0.8$, а в области наиболее интенсивного межмодового взаимодействия ($k \approx k_*$) эта монотонность нарушается. Правда, вариации абсолютной величины изменения амплитуды A с изменением величины удельного сопротивления r незначительны: на рис. 5 оно лишь немного превышает толщины линий. Следует также отметить, что в области значений параметра Тонкса–Френкеля $W > 1$ интенсивность взаимодействия имеет минимум при значениях r , отличных от нуля (рис. 4), т. е. для жидкостей с конечной проводимостью.

Заключение

Конечная проводимость жидкости наиболее существенно влияет на нелинейное взаимодействие капиллярно-гравитационных волн с волновыми числами, большими по величине значения $k_* = 1/\sqrt{2} \approx 0.707$, удвоенный квадрат которого равен единице, деленной на квадрат капиллярной постоянной жидкости. Характер зависимости интенсивности нелинейного взаимодействия между отдельными гармониками, формирующими нелинейную капиллярно-гравитационную волну, от удельно-

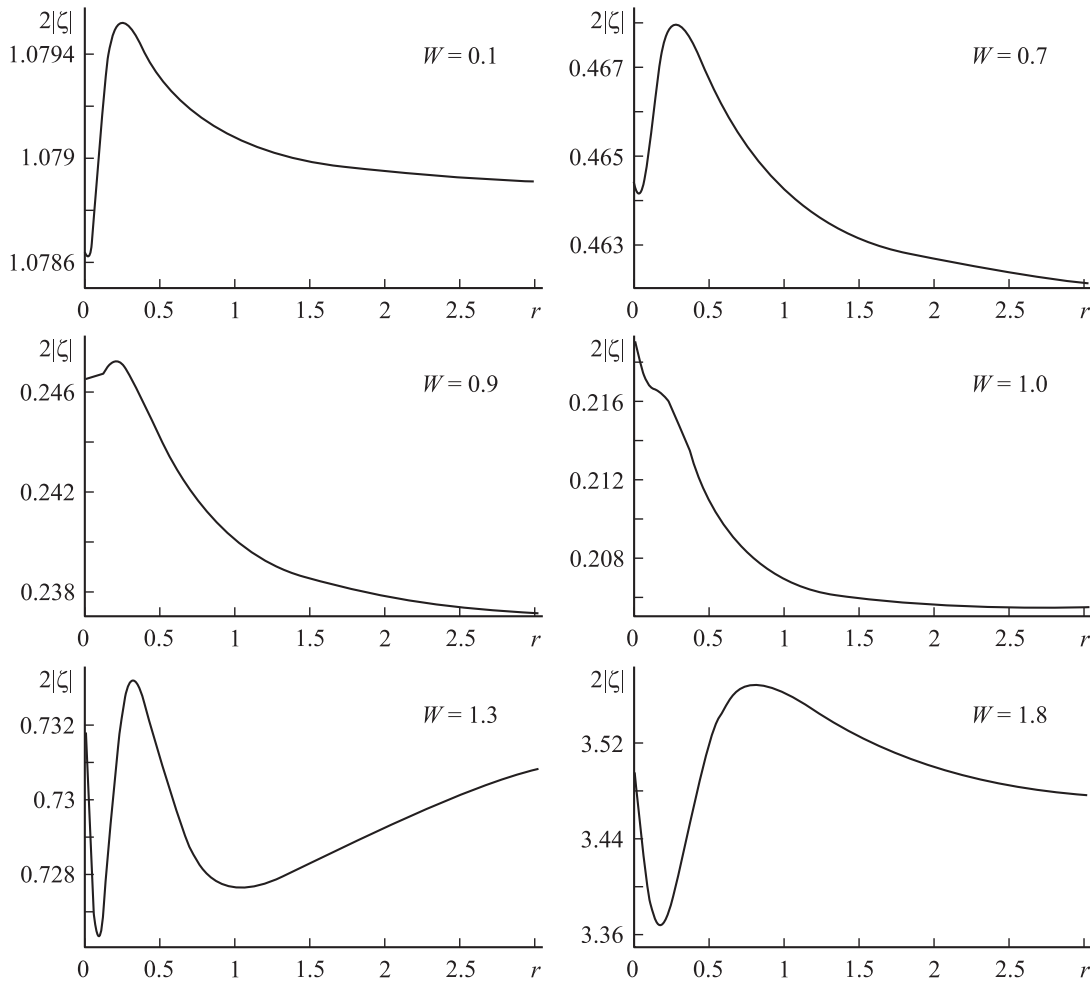


Рис. 4. Зависимости безразмерного амплитудного множителя поправки второго порядка малости к профилю волны $A = A(r) \equiv 2|\xi(r)|$ от безразмерного удельного сопротивления жидкости r , построенные при значении безразмерного волнового числа $k = 0.73$ для различных значений параметра W .

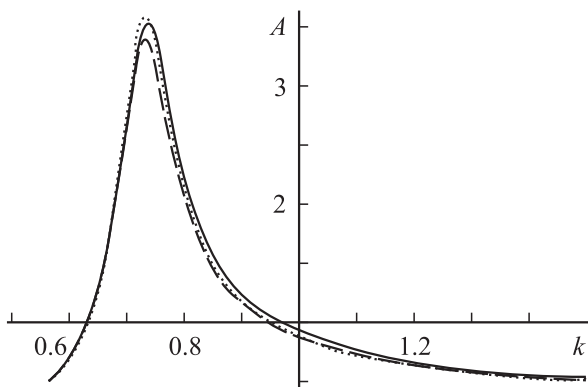


Рис. 5. Зависимости безразмерного амплитудного множителя поправки второго порядка малости к профилю волны $A = A(k) \equiv 2|\xi(k)|$ от безразмерного волнового числа, построенные при $W = 1.8$ для различных значений безразмерного удельного сопротивления жидкости r : сплошная кривая — 0, штриховая — 0.2, пунктир — 0.75.

го сопротивления жидкости существенно связан с величиной поверхностной плотности заряда. При приближении величины поверхностного заряда к критическому для реализации неустойчивости Тонкса–Френкеля значению появляется отличное от нулевого значение удельного сопротивления, при котором интенсивность взаимодействия мод минимальна. Для жидкостей с конечной проводимостью резонансное волновое число, при котором нелинейное взаимодействие волн наиболее интенсивно, несколько меньше, чем для идеально проводящей жидкости. Влияние электропроводности жидкости на интенсивность нелинейного взаимодействия капиллярно-гравитационных волн гораздо менее существенно, чем влияние величины поверхностного заряда: изменение удельного сопротивления жидкости в широких пределах приводит к изменению интенсивности нелинейного межмодового взаимодействия на единицы процентов, в то время как варьирование поверхностной плотности заряда в докритической области изменяет интенсивность взаимодействия в несколько раз.

Приложение. Вспомогательные величины и соотношения

1. Касательный и нормальный орты к возмущенной свободной поверхности жидкости

$$\mathbf{n} = -\frac{\partial_x \xi}{\sqrt{1+(\partial_x \xi)^2}} \mathbf{e}_x + \frac{1}{\sqrt{1+(\partial_x \xi)^2}} \mathbf{e}_z;$$

$$\boldsymbol{\tau} = -\frac{1}{\sqrt{1+(\partial_x \xi)^2}} \mathbf{e}_x + \frac{\partial_x \xi}{\sqrt{1+(\partial_x \xi)^2}} \mathbf{e}_z.$$

2. Правые части соотношений, выражающих математическую формулировку задачи второго порядка малости,

$$\mathbf{V}_2 = -\frac{1}{2} \nabla(\mathbf{U}_1^2) + \mathbf{U}_1 \times (\nabla \times (\mathbf{U}_1));$$

$$f_{12} = \xi_1 \partial_z v_1 - u_1 \partial_x \xi_1;$$

$$f_{22} = 2\rho\nu \left(\xi_1 \partial_{zz} v_1 + \partial_x \xi_1 \left(\frac{E_0}{4\pi\rho\nu} \partial_x \Phi_{in1} \right) \right) - \xi_1 \partial_z p_1$$

$$- \frac{1}{8\pi} ((\nabla \Phi_{ex1})^2 - 2E_0 \xi_1 \partial_{zz} \Phi_{ex1} - \varepsilon_d (\partial_z \Phi_{in1})^2 + (\varepsilon_d - 2)(\partial_x \Phi_{in1})^2);$$

$$f_{32} = -\rho\nu (4\partial_z v_1 \partial_x \xi_1 + \xi_1 \partial_z (\partial_z u_1 + \partial_x v_1))$$

$$- \frac{E_0}{4\pi} \partial_x (\xi_1 \partial_z \Phi_{in1}) - \chi_1 \partial_x \Phi_{in1};$$

$$f_{42} = -\xi_1 (\partial_z \Phi_{ex1} - \partial_z \Phi_{in1});$$

$$f_{52} = -\partial_x (u_1 \chi_1) - \frac{E_0}{4\pi} \left(\xi_1 \partial_{xz} u_1 - \frac{E_0}{4\pi\rho\nu} \partial_x \Phi_{in1} \partial_x \xi_1 \right)$$

$$- \sigma (\xi_1 \partial_{zz} \Phi_{in1} - \partial_x \xi_1 \partial_x \Phi_{in1}) + \mu \left(\frac{E_0}{4\pi} (\partial_{xx} \xi_1 \partial_z \Phi_{in1} + 2\partial_x \xi_1 \partial_{xz} \Phi_{in1} + \xi_1 \partial_{xzx} \Phi_{in1}) + \chi_1 \partial_{xx} \Phi_{in1} + \partial_x \chi_1 \partial_x \Phi_{in1} \right);$$

$$f_{62} = -\frac{1}{4\pi} \left(\xi_1 \partial_{zz} (\Phi_{ex1} - \varepsilon_d \Phi_{in1}) - \partial_x \xi_1 \partial_x (\Phi_{ex1} - \varepsilon_d \Phi_{in1}) + \frac{E_0}{2} (\partial_x \xi_1)^2 \right).$$

3. Коэффициенты M_j .

$M_j = \det$

$$\times \begin{pmatrix} 0 & 0 & -k & ik & R_{1j} & 0 \\ \frac{kE_0}{2\pi} & 0 & -\rho(S+4\nu k^2) & 2\rho\nu ikw & R_{2j} & 0 \\ 0 & -i \frac{kE_0}{2\pi} & -4i\rho\nu k^2 & -\rho(S+4\nu k^2) & R_{3j} & 0 \\ 1 & -1 & 0 & 0 & R_{4j} & 0 \\ 4kr(2Dk^2+S) & L & -2rk^2 E_0 & irkE_0 w & R_{5j} & 0 \\ -\frac{k}{2\pi} & -\varepsilon_d \frac{k}{2\pi} & 0 & 0 & R_{6j} & 1 \end{pmatrix};$$

$$L \equiv 4k \left(2\pi + r(E_0 \mu k + \varepsilon_d(2Dk^2 + S)) \right);$$

$$w \equiv \sqrt{2 \left(2k^2 + \frac{S}{\nu} \right)};$$

$$R_{10} = 2S; \quad R_{20} = -(\rho g + 4\gamma k^2); \quad R_{30} = 0;$$

$$R_{40} = -E_0; \quad R_{50} = 0; \quad R_{60} = 0;$$

$$R_{11} = \frac{1}{2} k \left(bk \left(1 - \frac{ic(k^2 - q^2)}{(3k+q)(2S+\nu(k-q)(3k+q))} \right) - icq \right);$$

$$R_{21} = \frac{1}{4} k \left(bS\rho + 2\rho\nu(bk^2 - icq^2) + \frac{E_0^2 k}{4\pi} (a_{ex} + ((\varepsilon_d - 1)a_{in} - 2)a_{in}) - \frac{2\rho ibck(k-q)(2S+\nu(5k^2+2kq+q^2))}{(3k+q)(2S+\nu(k-q)(3k+q))} \right);$$

$$R_{31} = \frac{1}{4} \left(\rho\nu \left(cq(5k^2 + q^2) + bk \left(6ik^2 + \frac{c(k^2 - q^2)(5k^2 + 2kq + q^2)}{(3k+q)(2S+\nu(k-q)(3k+q))} \right) \right) + i \frac{E_0^2 k^2}{4\pi} a_{in} (2 + a_{ex} + \varepsilon_d a_{in}) \right);$$

$$R_{41} = k \frac{E_0}{4} (a_{ex} + a_{in});$$

$$R_{51} = \frac{r}{4} k E_0 \left(-icq(q + 2k(a_{ex} + \varepsilon_d a_{in})) \right)$$

$$+ bk \left(k(1 + 2(a_{ex} + \varepsilon_d a_{in})) - \frac{2ic(k-q)(k+q)^2}{(3k+q)(2S+\nu(k-q)(3k+q))} \right) - k \left((2Dk^2 + S)(1 - 4(a_{ex} - \varepsilon_d a_{in})) \right)$$

$$+ a_{in} \left(\frac{E_0^2}{4\pi\nu\rho} + 2E_0\mu k(2 + a_{ex} + \varepsilon_d a_{in}) \right) + 2\pi E_0 k^2 a_{in};$$

$$R_{61} = \frac{E_0 k^2}{32\pi} (1 - 4(a_{ex} - \varepsilon_d a_{in}));$$

$$b = -\frac{\omega_0^2 + 2\nu k q S + \frac{r}{4\pi G} \frac{E_0^2 k}{4\pi\rho} ((k-q)S + k^3 D)}{k \left(S + 2\nu k(k-q) - \frac{r}{4\pi G} \frac{E_0^2 k}{4\pi\rho} (k-q) \right)};$$

$$c = \frac{i \left(\omega_0^2 + S(S + 2\nu k^2) + \frac{r}{4\pi G} \frac{E_0^2 k}{4\pi\rho} k^3 D \right)}{k \left(S + 2\nu k(k-q) - \frac{r}{4\pi G} \frac{E_0^2 k}{4\pi\rho} (k-q) \right)};$$

$$G = 1 + \frac{r}{4\pi} ((1 + \varepsilon_d)(S + k^2 D) + E_0 k \mu);$$

$$d = \frac{E_0 k}{4\pi} \left(1 - (1 + \varepsilon_d) \frac{r}{4\pi G} \right. \\ \left. \times \frac{(k-q)(\omega_0^2 + S^2 + 2\nu k^2(S+k^2 D)) + Sk^3 D}{k(S + 2\nu k(k-q) - \frac{r}{4\pi G} \frac{E_0^2 k}{4\pi \rho} (k-q))} \right);$$

$$a_{\text{ex}} = 1 - \frac{r}{4\pi G} \frac{(k-q)(\omega_0^2 + S^2 + 2\nu k^2(S+k^2 D)) + Sk^3 D}{k(S + 2\nu k(k-q) - \frac{r}{4\pi G} \frac{E_0^2 k}{4\pi \rho} (k-q))};$$

$$a_{\text{in}} = -\frac{r}{4\pi G} \frac{(k-q)(\omega_0^2 + S^2 + 2\nu k^2(S+k^2 D)) + Sk^3 D}{k(S + 2\nu k(k-q) - \frac{r}{4\pi G} \frac{E_0^2 k}{4\pi \rho} (k-q))};$$

$$q = \sqrt{k^2 + \frac{S}{\nu}};$$

$$\omega_0^2 = kg(1 + (ak)^2 - akW); \quad a = \sqrt{\frac{\gamma}{\rho g}};$$

$$E_0 = 2\sqrt{\pi W \sqrt{\rho g \gamma}},$$

i — мнимая единица.

4. Безразмерное дисперсионное уравнение имеет вид

$$\begin{cases} F(\alpha, \beta, R, E, \Delta, M, \varepsilon_d) = \sqrt{\alpha + \beta^2}; \\ \operatorname{Re}(F(\alpha, \beta, R, E, \Delta, M, \varepsilon_d)) > 0, \end{cases}$$

где

$$F(\alpha, \beta, R, E, \Delta, M, \varepsilon_d) \\ = \frac{\left((\alpha + 2\beta^2)^2 + 1 - \frac{R(\alpha^2 + 1 + 2\beta^2(2\alpha + \Delta))E^2}{\alpha(1+R((1+\varepsilon_d)(\alpha+\Delta)+EM))} \right)}{4\beta^3 \left(1 - \frac{R(\alpha^2 + 1 + 2\beta^2(2\alpha + \Delta))E^2}{\alpha(1+R((1+\varepsilon_d)(\alpha+\Delta)+EM))4\beta^4} \right)};$$

$$\beta = \sqrt{\frac{\nu k^2}{\omega_0}}; \quad R = \frac{r\omega_0}{4\pi};$$

$$\Delta = \frac{Dk^2}{\omega_0}; \quad E = \frac{E_0 k}{\omega_0 \sqrt{4\pi \rho}}; \quad M = \mu \sqrt{4\pi \rho}.$$

В общем случае дисперсионное уравнение имеет две пары комплексно-сопряженных корней. Чтобы избежать чрезмерной громоздкости, ограничим рассмотрение волнами, распространяющимися в положительном направлении оси Ox , для этого будем отбирать корни с положительной мнимой частью. Среди двух удовлетворяющих этому условию корней один отвечает капиллярно-гравитационной волне, а другой — волне, связанной с поверхностной релаксацией электрического заряда.

Пусть при заданных значениях параметров $\beta = \beta_*$, $E = E_*$, $\Delta = \Delta_*$, $M = M_*$ и $R = R_*$ найдены два корня с положительной мнимой частью. Если в безразмерном дисперсионном соотношении положить $\beta = \beta_*$, $E = E_*$, $\Delta = \Delta_*$, $M = M_*$ и $R = 0$ (т.е. рассмотреть случай идеально проводящей жидкости, для которой отсутствует „релаксационная“ волна), то корень с положительной

мнимой частью будет один. Далее, непрерывно изменяя параметр R от $R = 0$ до $R = R_*$, следует проследить за изменением найденного корня (процедура реализуется численно). При $R = R_*$ этот корень сравняется с одним из тех, что были найдены изначально. Он и будет соответствовать капиллярно-гравитационной волне.

Работа выполнена при поддержке Президента РФ (грант № МК-929.2003.01) и РФФИ (грант № 03-01-00760).

Список литературы

- [1] Белоножко Д.Ф., Григорьев А.И. // ЖТФ. 2003. Т. 73. Вып. 4. С. 28–37.
- [2] Белоножко Д.Ф., Григорьев А.И. // Письма в ЖТФ. 2003. Т. 29. Вып. 8. С. 1–7.
- [3] Белоножко Д.Ф., Григорьев А.И. // ЖТФ. 2003. Т. 73. Вып. 11. С. 37–45.
- [4] Белоножко Д.Ф., Григорьев А.И. // ЖТФ. 2004. Т. 74. Вып. 3. С. 5–13.
- [5] *Simmons W.F.* // Proc. Roy. Soc. 1969. Vol. 309. Ser. A. P. 551–575.
- [6] *Naufeh A.H.* // J. Fluid Mech. 1971. Vol. 48. Pt 2. P. 385–395.
- [7] Белоножко Д.Ф., Ширяева С.О., Григорьев А.И. // Письма в ЖТФ. 1996. Т. 22. Вып. 15. С. 61–64.
- [8] Френкель Я.И. // ЖЭТФ. 1936. Т. 6. Вып. 4. С. 348–350.
- [9] Ширяева С.О., Белоножко Д.Ф., Григорьев А.И. // ЖТФ. 1998. Т. 68. Вып. 2. С. 22–29.
- [10] Горьков Л.П., Черникова Д.М. // ДАН СССР. 1976. Т. 228. № 4. С. 829–832.
- [11] Володин А.П., Хайкин М.С., Эдельман В.С. // Письма в ЖЭТФ. 1977. Т. 26. Вып. 10. С. 707–711.
- [12] Зубарев Н.М. // ЖЭТФ. 2002. Т. 121. Вып. 3. С. 624–636.